

- [4] Зюзин А.М., Куделькин Н.И., Рандошкин В.В., Телеснин Р.В. // Письма в ЖТФ. 1983. Т. 9. № 3. С. 177–181.  
[5] Дудоров В.Н., Рандошкин В.В., Телеснин Р.В. // УФН. 1977. Т. 122. № 2. С. 253–294.  
[6] Дудоров В.Н., Милль Б.В., Телеснин Р.В. // ПТЭ. 1974. № 2. С. 245–247.  
[7] Телеснин Р.В., Дудоров В.Н. // Изв. АН СССР. Сер. физ. 1974. Т. 38. № 11. С. 2475–2478.  
[8] Телеснин Р.В., Козлов В.Н., Дудоров В.Н. // ФТТ. 1974. Т. 16. № 8. С. 3531–3534.

Мордовский государственный университет  
им. Н.П.Огарева  
Институт общей физики РАН  
Совместная хозрасчетная лаборатория  
«Магнитооптоэлектроника»  
Саранск

Поступило в Редакцию  
6 января 1994 г.

УДК 537.312.8

© Физика твердого тела, том 36, № 6, 1994  
Solid State Physics, vol. 36, N 6, 1994

## НЕЛИНЕЙНЫЕ ЭЛЕКТРОМАГНИТНЫЕ СВОЙСТВА ЭПИТАКСИАЛЬНЫХ ПЛЕНОК ИЗ $\text{YBa}_2\text{Cu}_3\text{O}_{7-\alpha}$ В МИЛЛИМЕТРОВОМ РАДИОДИАПАЗОНЕ

Е.М.Ганапольский, А.В.Полев, И.Н.Чуканова

Ранее в ряде работ [1–5] было изучено поверхностное сопротивление  $R_s$ , пленок из различных материалов с высокотемпературной сверхпроводимостью (ВТСП), в частности из  $\text{YBa}_2\text{Cu}_3\text{O}_{7-\alpha}$ , в слабых электромагнитных полях сантиметрового и миллиметрового радиодиапазонов. Эти исследования линейных электромагнитных свойств ВТСП-пленок имели в основном прикладную направленность и председовали цель создания различных СВЧ-элементов — резонаторов, фильтров, линий задержки и т.п., которые по своим параметрам пре-восходят аналогичные элементы, использующие медные проводники. Поэтому основное внимание в них было уделено выяснению возмож-ности получения остаточного поверхностного сопротивления  $R_s \ll R_c$ , где  $R_c$  — поверхностное сопротивление меди при температурах  $T < T_c$ ,  $T_c$  — температура сверхпроводящего перехода. В противоположность линейным нелинейные электромагнитные свойства ВТСП-пленок на СВЧ, которые проявляются при достаточно сильных маг-нитных СВЧ полях, изучены крайне слабо. В то же время изучение таких свойств дает возможность построить реалистическую физиче-скую модель ВТСП-пленки как объекта нелинейной электродинамики ВТСП-материалов.

Нелинейные свойства ВТСП-пленок наблюдаются в переменном магнитном поле СВЧ, амплитуда которого  $H_a$  имеет величину порядка первого критического магнитного поля  $H_{c1}$ , которое для  $\text{YBa}_2\text{Cu}_3\text{O}_{7-\alpha}$  составляет несколько сотен эрстед [6]. Трудности в реализации таких полей в сантиметровом и особенно в миллиметровом радиодиапазонах, по-видимому, являются одним из основных препятствий для систематического изучения нелинейных свойств ВТСП-материалов.

В работе описывается оригинальный метод исследования и ре-зультаты изучения нелинейных свойств эпитаксиальных пленок из

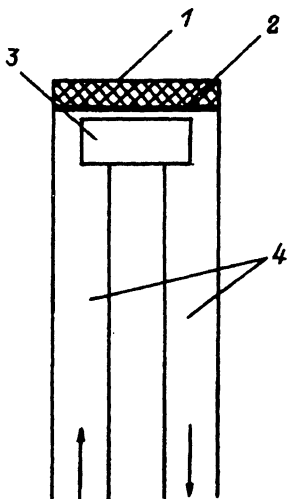


Рис. 1. «Щелевой» резонатор (схема).

1 — подложка из  $\text{SrTiO}_3$ , 2 — ВТСП-пленка из  $\text{YBa}_2\text{Cu}_3\text{O}_{7-x}$ , 3 — резонансный выступ, 4 — входной и выходной волноводы.

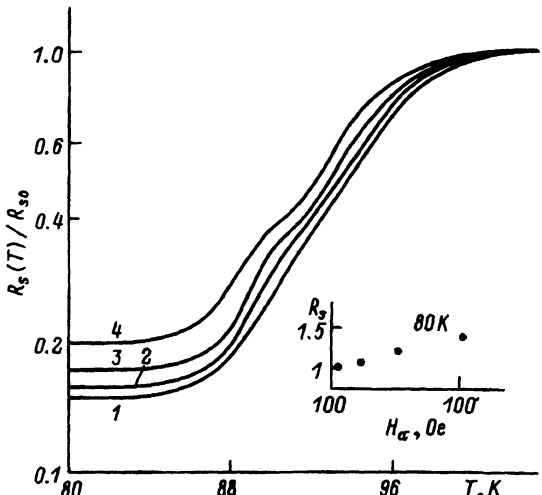


Рис. 2. Зависимость  $R_s$  от температуры и амплитуды магнитного поля СВЧ.

$p_i$  (W),  $H_a$  (Oe): 1 — 1, 130; 2 — 3, 230; 3 — 10, 420; 4 — 31.5, 750.

$\text{YBa}_2\text{Cu}_3\text{O}_{7-x}$  в 8-миллиметровом радиодиапазоне на частоте 36.7 GHz. В качестве образца для этих исследований использовалась ВТСП-пленка толщиной  $0.3 \mu$ , нанесенная лазерным напылением [7] на подложку из  $\text{SrTiO}_3$ . Основные параметры пленки:  $T_c = 88.6$  K, температурная ширина перехода  $\Delta T_c = 1.3$  K. Пленка имела хорошо выраженную эпикаксиальную структуру, соответствующую мозаичному кристаллу с углом разориентировки ВТСП-блоков, не превышающим  $1^\circ$  как по оси  $c$ , так и по осям  $a$  и  $b$ .

Для создания на поверхности ВТСП-пленки интенсивного магнитного поля СВЧ был применен предложенный ранее одним из авторов метод концентрации магнитного поля СВЧ в весьма малом объеме с помощью «щелевого» резонатора [8], который показал высокую эффективность в магнитной радиоспектроскопии. В данном случае исследования ВТПС-плеки «щелевой» резонатор, схематически показанных на рис. 1, был образован прямоугольным резонансным выступом с размерами  $1.5 \times 4 \times 2.6$  mm, расположенным между торцами двух параллельных прямоугольных волноводов в поперечном сечении  $5.2 \times 2.6$  mm, в которых в качестве соединительной стенки служила СТПС-пленка. Электромагнитное поле СВЧ концентрировалось в узкой щели (отсюда «щелевой» резонатор) между ВТСП-пленкой и поверхностью резонансного выступа. Высота щели  $30 \mu$ , а объем резонатора, в котором концентрировалось магнитное поле,  $v_c = 10^{-4} \text{ см}^{-3}$ . Резонатор был настроен на частоту 36.7 GHz и имел добротность  $Q = 10$ . Он обеспечивал получение над поверхностью ВТСП-пленки амплитуды магнитного поля  $H_a$  около 750 Oe при подводимой мощности  $P_i = 31.5$  W. Значение  $H_a^2$  на порядок превышает поле, которое можно получить при

той же входной мощности в обычных (прямоугольном или цилиндрическом) объемных резонаторах.

Измерения  $R_s$  при различных уровнях подводимой мощности производились в импульсном режиме для того, чтобы исключить непосредственное тепловое воздействие на пленку со стороны проходящей мощности СВЧ. Длительность импульса 0.06  $\mu$ s, частота повторения 250 Hz, а максимальная средняя мощность не превышала нескольких милливатт. Температура образца медленно (со скоростью 25 K/h) изменялась в интервале 150–80 K, соответствующем области ВТСП-перехода, а данные об изменении  $R_s$  в этом интервале автоматически регистрировались на самописце.

Результаты измерений  $R_s$  при различных значениях  $H_a$  в «щелевом» резонаторе показаны на рис. 2. Прежде всего следует отметить, что ширина ВТСП-перехода в миллиметровом радиодиапазоне на порядок превосходит  $\Delta T_c$  на постоянном токе. Из рис. 2 видно также, что при используемых в измерениях магнитных полях СВЧ четко проявляются нелинейные электромагнитные свойства ВТСП-пленок. Интенсивное поле  $H_a$  оказывает существенное влияние на характер кривой  $R_s(T)$  в области перехода: с увеличением  $H_a$  ширина кривой также заметно увеличивается. Кроме того, на ней появляются особенности в области перехода в виде уплощенных участков, которые в ростом  $H_a$  смещаются вместе с кривой  $R_s(T)$  в сторону низких температур. При  $T < 86$  K зависимость  $R_s(T)$  выходит на плато, уровень которого определяется величиной  $H_a$ . Это показывает, что наблюдаемые нелинейные свойства ВТСП-пленки имеют в данном случае нетепловое происхождение и связаны, по-видимому, с увеличением микроволновых потерь, обусловленных движением вихрей Абрикосова в сильных нестационарных полях СВЧ. Было установлено также, что зависимость  $R_s(H_a)$  в области плато при  $T = 80$  K близка к линейной (вставка к рис. 2), что согласуется с данными измерений [9,10] на более низких частотах и в меньшем интервале магнитных полей  $H_a$ .

Отметим, что, несмотря на то что переменное магнитное поле СВЧ на поверхности ВТСП-пленки превышает первое критическое магнитное поле, его воздействие не приводит к качественному изменению ее состояния при  $T < T_c$ . ВТСП не исчезает вплоть до полей  $H_a = 750$  Ое.

### Список литературы

- [1] Muller G., Klein N., Brust A., Chaloupka H., Hein M., Orbach S., Piel H. // J. Supercond. 1990. V. 3. P. 235–242.
- [2] Delayen J.R., Bohn C.L., Roche C.T. // J. Supercond. 1990. V. 3. P. 243–250.
- [3] Oates D.E., Anderson A.C., Mankiewich P.M. // J. Supercond. 1990. V. 3. P. 251–260.
- [4] Drabeck L., Holczer K., Gruner G., Chang J., Scalapino D., Venkatesan T. // J. Supercond. 1990. V. 3. P. 317–322.
- [5] Hein M., Kraut S., Mahner E., Muller G., Opie D., Piel H., Ponto L., Wehler D., Becks M., Klein U., Peiniger M. // J. Supercond. 1990. V. 3. P. 323–329.
- [6] Вендик О.Г., Козырев А.Б., Самойлова Т.Б., Попов А.Ю. Высокотемпературная сверхпроводимость. Фундаментальные и прикладные аспекты. Л.: Машиностроение, 1990. 686 с.
- [7] Усокин А.И., Чуканова И.Н. // Физика низких температур. 1992. Т. 18. С. 342–349.

- [8] Ганапольский Е.М., Чернец А.Н. // Радиофизика. 1963. Т. 6. С. 196–198.  
[9] Piel H., Muller G. // IREE Trans. Magn. 1991. V. 27. P. 854–862.  
[10] Oates D.E., Anderson A.C. // IREE Trans. Magn. 1991. V. 27. P. 867–871.

Институт радиофизики и электроники АН Украины  
Харьков  
Институт монокристаллов АН Украины  
Харьков

Поступило в Редакцию  
15 января 1994 г.

УДК 535.373

© Физика твердого тела, том 36, № 6, 1994  
*Solid State Physics, vol. 36, N 6, 1994*

## ВОЗДЕЙСТВИЕ УЛЬТРАКОРОТКИХ ЛАЗЕРНЫХ ИМПУЛЬСОВ НА ОПТИЧЕСКОЕ ПРОПУСКАНИЕ ТОНКИХ КРИСТАЛЛОВ $\epsilon = \text{GaSe}$

*K.P. Аллахвердиев, Н.А. Ахмедов, Н.Б. Мустафаев,  
М.М. Тагиев, З.А. Ибрагимов*

Ширина запрещенной зоны слоистого  $\epsilon = \text{GaSe}$  при комнатной температуре составляет  $E = 2.020$  eV. Для оптических спектров тонких кристаллов  $\epsilon = \text{GaSe}$  (менее  $100\ \mu$ ) характерна полоса поглощения прямых свободных экситонов при  $2.001$  eV,  $T = 300$  K. Просветление в полосе экситонного поглощения при взаимодействии импульсов длительностью  $\tau = 7$  ps наблюдали авторы работы [1]. Природа осцилляций с периодом  $T = 248$  fs на зависимостях оптического пропускания толстых кристаллов под воздействием лазерных импульсов объяснена в предположении когерентного возбуждения неполярных оптических фононов [2]. В настоящем сообщении приведены результаты экспериментов по воздействию лазерных импульсов с энергией  $E = 1.97$  eV, длительностью  $\tau = 60$  fs на зависимости дифференциального пропускания кристаллов толщиной менее  $20\ \mu$  при комнатной температуре. Селенид галлия выращен в Институте физики АН Азербайджанской Республики методом Бриджмена. Эксперименты проведены К. Зайбертом в Институте полупроводниковой электроники Технического университета г. Аахене (Германия) с использованием методики возбуждение–проба [3]. Измерения проведены на свежесколотых пластинках, полученных расщеплением монокристаллических блоков непосредственно перед экспериментом. Зависимости пропускания кристалла толщиной  $d = 10\ \mu$  для различных плотностей возбуждения от времени выдержки между импульсами приведены на рис. 1; концентрации возбужденных пар, соответствующие плотностям накачки  $F = 6$  (1)  $30$  (2),  $60\ \text{GW/cm}^2$  (3), равны  $N \approx 1.4 \cdot 10^{17}$ ;  $6.8 \cdot 10^{17}$  и  $1.4 \cdot 10^{18}\ \text{cm}^{-3}$ . Наиболее характерными особенностями зависимостей пропускания являются следующие: 1) воздействие плотностей возбуждения  $\Gamma \geqslant 0.1\ \text{GW/cm}^2$  ( $N \approx 0.3 \cdot 10^{16}\ \text{cm}^{-3}$ ) приводит к увеличению пропускания; 2) просветление наблюдается при положительных временах задержки до  $250$  fs; 3) при плотностях  $F \gtrsim 7\ \text{GW/cm}^2$  ( $N \approx 1.7 \cdot 10^{17}\ \text{cm}^{-3}$ ) наблюдается смена знака относительно пропускания, возрастающего по абсолютной величине с увеличением плотности возбуждения (рис. 1, кривые